

8 Algoritmi evoluți de tip FFT

8.3 Algoritmi FFT compoziți, de tip Cooley-Tukey

Nu se poate renunța la condiția ca durata semnalului original să fie o putere a lui 2?

Noi algoritmi de tip FFT: **Cooley-Tukey**

Într-adevăr, anumite aplicații necesită **conservarea duratei semnalului de intrare**, chiar dacă nu este exprimată ca o putere a lui 2.



$$x \in \mathcal{S}_{dN}$$

Exprimare a duratei sub forma unui **număr compozit**

divizorul principal

$$N = P_1 P_2 \cdots P_L \quad (\text{descompunere în factori primi}) \\ (\text{nu neapărat ordonați crescător sau descrescător})$$

Ideea lui Cooley & Tukey

Pentru a reduce dimensiunea TFD, se poate aplica **Teorema Împărțirii cu Rest (TIR)**.

$$N = P_1 P_2 \cdots P_L = P_1 \cdot Q_1$$

$$n = qP_1 + p \in \overline{0, N-1}, \text{ unde:}$$

$$\stackrel{\text{def}}{q} = \left\lfloor \frac{n}{P_1} \right\rfloor \in \overline{0, Q_1 - 1}$$

$$\stackrel{\text{def}}{p} = n \% P_1 \in \overline{0, P_1 - 1}$$

$$k = lQ_1 + m \in \overline{0, N-1}, \text{ unde:}$$

$$\stackrel{\text{def}}{l} = \left\lfloor \frac{k}{Q_1} \right\rfloor \in \overline{0, P_1 - 1}$$

$$\stackrel{\text{def}}{m} = k \% Q_1 \in \overline{0, Q_1 - 1}$$

👉 Algoritmul de descompunere a unui număr natural în factori primi implementează **Metoda ("ciurului")** lui Eratostene.



8 Algoritmi evoluți de tip FFT

8.3 Algoritmi FFT compoziți, de tip Cooley-Tukey

După principiul segmentării în timp



$$\text{TFD}_N(x)[k] \stackrel{\text{def}}{=} X[k] = \sum_{n=0}^{N-1} x[n] w_N^{nk} \quad \forall k \in \overline{0, N-1}$$

$$n = qP_1 + p \in \overline{0, N-1}, \text{ unde:}$$

TIR

$$q = \left\lfloor \frac{n}{P_1} \right\rfloor \in \overline{0, Q_1 - 1}$$

$$p = n \% P_1 \in \overline{0, P_1 - 1}$$

$$\begin{aligned} X[k] &= \sum_{p=0}^{P_1-1} \sum_{q=0}^{Q_1-1} x[qP_1 + p] w_N^{k(qP_1 + p)} = \sum_{p=0}^{P_1-1} w_N^{kp} \sum_{q=0}^{Q_1-1} x[qP_1 + p] w_N^{kqP_1} = \sum_{p=0}^{P_1-1} w_N^{kp} \sum_{q=0}^{Q_1-1} x[qP_1 + p] w_{Q_1}^{kqP_1} \\ &= \sum_{p=0}^{P_1-1} w_N^{kp} \sum_{q=0}^{Q_1-1} \underbrace{x[qP_1 + p]}_{x_p[q]} w_{Q_1}^{kq} = \sum_{p=0}^{P_1-1} w_N^{kp} \sum_{q=0}^{Q_1-1} x_p[q] w_{Q_1}^{kq} = \sum_{p=0}^{P_1-1} w_N^{kp} \sum_{q=0}^{Q_1-1} x_p[q] w_{Q_1}^{q(k \% Q_1)}, \quad \forall k \in \overline{0, N} \end{aligned}$$

segment de semnal
temporal

$$w_{Q_1}^{kq} = w_{Q_1}^{q(lQ_1 + m)} = w_{Q_1}^{qlQ_1} w_{Q_1}^{qm} = w_{Q_1}^{qm} = w_{Q_1}^{q(k \% Q_1)}$$

$$\text{TFD}_{Q_1}(x_p)[k \% Q_1] \stackrel{\text{def}}{=} X_p[k \% Q_1] = \sum_{q=0}^{Q_1-1} x_p[q] w_{Q_1}^{q(k \% Q_1)} \quad \forall k \in \overline{0, N-1}$$

$$k = lQ_1 + m \in \overline{0, N-1}, \text{ unde:}$$

TIR

$$l = \left\lfloor \frac{k}{Q_1} \right\rfloor \in \overline{0, P_1 - 1}$$

$$m = k \% Q_1 \in \overline{0, Q_1 - 1}$$

Dimensiunea transformatei a scăzut de P_1 ori.

$$\text{TFD}_{P_1 Q_1}(x)[k] = \sum_{p=0}^{P_1-1} w_N^{kp} \text{TFD}_{Q_1}(x_p)[k \% Q_1]$$

$$\forall k \in \overline{0, N-1}$$



8 Algoritmi evoluți de tip FFT

8.3 Algoritmi FFT compoziți, de tip Cooley-Tukey



Cum pot fi descrise
segmentele semnalului
temporal?



Semnalul de intrare se poate **aranja într-o matrice**
cu P_1 coloane și Q_1 linii.



indice temporal q

indice de segment p

$x[0]$	$x[1]$...	$x[p]$...	$x[P_1-1]$
$x[P_1]$	$x[P_1+1]$...	$x[P_1+p]$...	$x[2P_1-1]$
...
$x[qP_1]$	$x[qP_1+1]$...	$x[qP_1+p]$...	$x[(q+1)P_1-1]$
...
$x[(Q_1-1)P_1]$	$x[(Q_1-1)P_1+1]$...	$x[(Q_1-1)P_1+p]$...	$x[Q_1P_1-1]$

Funcție utilă
reshape

👉 Segment de semnal temporal.

- Fiecare segment de semnal este reprezentat într-un **vector coloană**.
- Durata oricărui segment de semnal este de asemenea un **număr compozit**.

$$Q_1 = P_2 \cdots P_L$$

TFD a fiecărui segment se poate exprima cu ajutorul a P_2 transformate de ordin $Q_2 = P_3 \cdots P_L$.

- Procedeul recursiv se oprește la **ultimul număr prim** (P_L), pentru care **TFD** se evaluează **folosind definiția**.



$$P_L = \min\{P_1, P_2, \dots, P_L\}$$

(pentru a reduce
efortul de calcul)



8 Algoritmi evoluți de tip FFT

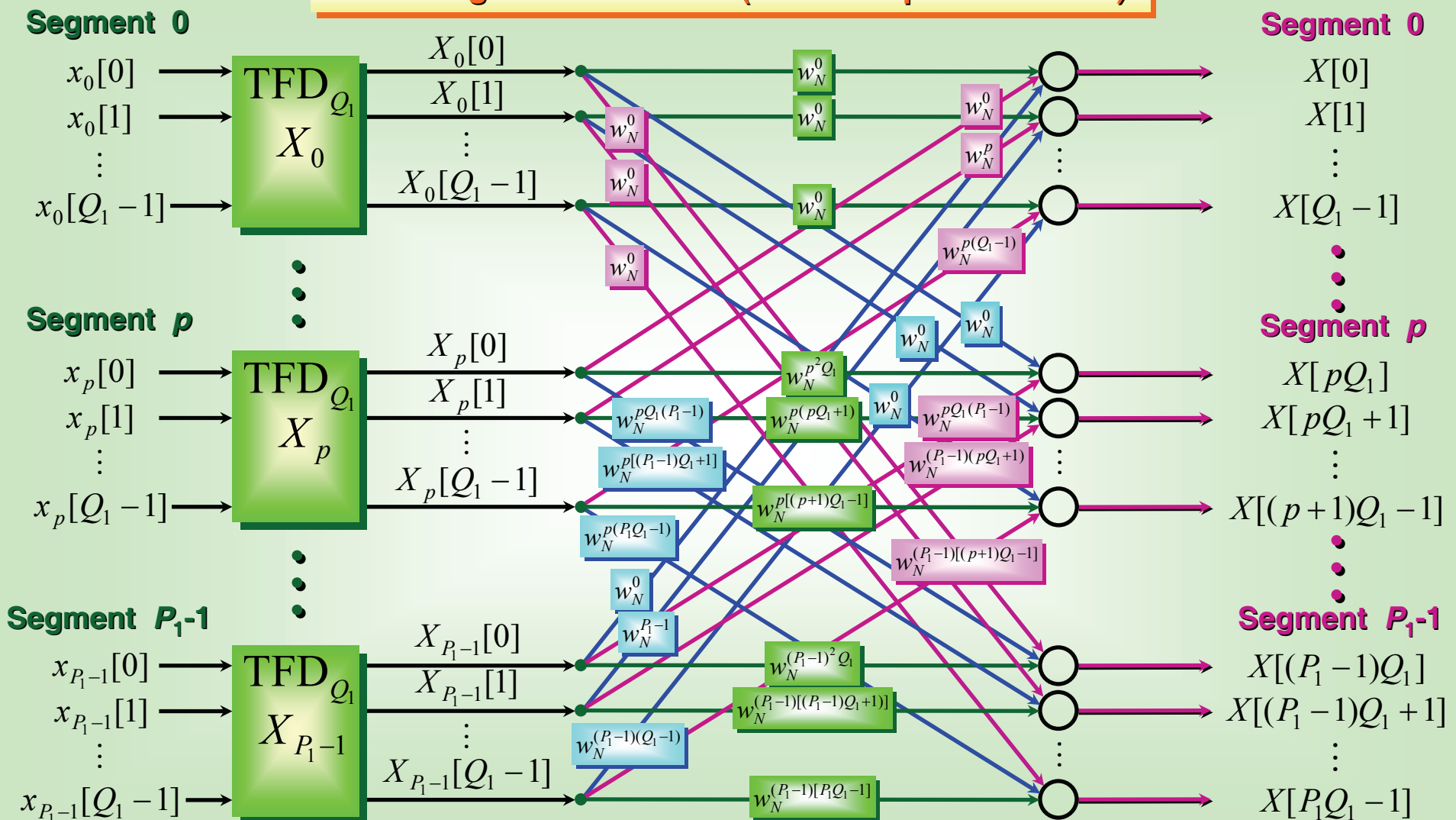
8.3 Algoritmi FFT compoziți, de tip Cooley-Tukey



semnal rearanjat

Schema globală de calcul (ultima etapă de rafinare)

semnal normal



În funcție de valorile factorilor primi, efortul de calcul poate fi redus prin exploatarea proprietății de simetrie a armonicilor elementare.



81



8 Algoritmi evaluați de tip FFT

8.3 Algoritmi FFT compoziți, de tip Cooley-Tukey



$$\text{TFD}_{PQ_1}(x)[k] = \sum_{p=0}^{P_1-1} w_N^{kp} \text{TFD}_{Q_1}(x_p)[k \% Q_1]$$

$$\forall k \in \overline{0, N-1}$$

Cooley-Tukey compozit-timp

Efortul de calcul al Algoritmilor Cooley-Tukey compoziți.



$$\mathcal{O}_{CT}[N] = \mathcal{O}_{CT}[P_1 Q_1] = P_1 \mathcal{O}_{CT}[Q_1] + N[4P_1]_{\bullet} + N[2(2P_1 - 1)]_{+}$$

(relație recursivă)

$$N = P_1 Q_1$$

$$\begin{aligned} \mathcal{O}_{CT}[N] &= \mathcal{O}_{CT}[P_1 Q_1] = P_1 (\mathcal{O}_{CT}[Q_1] + Q_1[4P_1]_{\bullet} + Q_1[2(2P_1 - 1)]_{+}) = \\ &= P_1 (P_2 \mathcal{O}_{CT}[Q_2] + Q_2[4P_2]_{\bullet} + Q_2[2(2P_2 - 1)]_{+}) + N[4P_1]_{\bullet} + N[2(2P_1 - 1)]_{+} = \\ &= P_1 P_2 \mathcal{O}_{CT}[Q_2] + N[4(P_1 + P_2)]_{\bullet} + N[2(2P_1 + 2P_2 - 2)]_{+} = \dots = \\ &= P_1 \dots P_{L-1} \mathcal{O}_{TFD}[P_L] + N \left[4 \sum_{i=1}^{L-1} P_i \right]_{\bullet} + N \left[2 \left(2 \sum_{i=1}^{L-1} P_i - L + 1 \right) \right]_{+} \end{aligned}$$

inducție matematică

$$\mathcal{O}_{TFD}[P_L] = [4P_L^2]_{\bullet} + [2P_L(2P_L - 1)]_{+}$$

$$\mathcal{O}_{CT}[N] = 4N \left[\sum_{i=1}^L P_i \right]_{\bullet} + 2N \left[\left(2 \sum_{i=1}^L P_i - L \right) \right]_{+} \sim 4 \left(\prod_{i=1}^L P_i \right) \left(\sum_{i=1}^L P_i \right)$$

Inferior lui $4N^2$.

$$N = P^L$$

$$\mathcal{O}_{CT}[P^L] \sim 4LP^{L+1} = 4PN \log_P N$$

$$N = 2^L$$

$$\mathcal{O}_{CT}[N] \sim 8N \log_2 N$$

Funcții utile

fft

fft2

fftshift

Exercițiu

- Descrieți **Algoritmul Cooley-Tukey compozit, cu segmentare în frecvență.**



De această dată, **semnalul frecvențial trebuie aranjat într-o matrice**, în timp ce **semnalul temporal nu necesită rearanjare.**



82



8 Algoritmi evoluți de tip FFT

8.4 Implementări RADIX ale algoritmilor FFT compoziți

- Decada **1970-1980** a înregistrat o **intensă activitate de proiectare a algoritmilor compoziți** bazați pe ideea lui Cooley & Tukey.

Algoritmi FFT-RADIX

Denumire sugerată de Limbajul FORTRAN, care indică **divizorul principal** sau **baza** duratei (în cazul factorizării de tipul P^L).

$$N = P^L$$

sau

$$N \in P\mathbb{N}$$



Algoritm FFT-RADIX P

- Cei mai populari algoritmi FFT compoziți: **RADIX3**, **RADIX4**, **RADIX16**, **RADIX32**, **RADIX64**.
- Exemplele care urmează: **RADIX3** & **RADIX4**.

Exemplul 1

Algoritmul compozit FFT-RADIX3

$$N = 3^L$$

sau

$$N = 3M \in 3\mathbb{N}$$

$$\text{TFD}_{3M}(x)[k] = \sum_{p=0}^2 w_{3M}^{kp} \text{TFD}_M(x_p)[k \% M] \quad \forall k \in \overline{0, N-1}$$

Cooley-Tukey compozit-timp

$$\text{TFD}_M(x_p)[k] \stackrel{\text{def}}{=} X_p[k] = \sum_{m=0}^{M-1} \underbrace{x[3m+p]}_{x_p[m]} w_M^{mk} \quad \begin{matrix} \forall k \in \overline{0, M-1} \\ \forall p \in \overline{0, 2} \end{matrix}$$

$$\begin{cases} \text{TFD}_{3M}(x)[k] = X[k] = w_{3M}^0 X_0[k] + w_{3M}^k X_1[k] + w_{3M}^{2k} X_2[k] \\ \text{TFD}_{3M}(x)[M+k] = X[M+k] = w_{3M}^0 X_0[k] + w_3^1 w_{3M}^k X_1[k] + w_3^2 w_{3M}^{2k} X_2[k] \\ \text{TFD}_{3M}(x)[2M+k] = X[2M+k] = w_{3M}^0 X_0[k] + w_3^2 w_{3M}^k X_1[k] + w_3^1 w_{3M}^{2k} X_2[k] \end{cases}$$

\bar{w}_3^{-1} (simetrie)

$\forall k \in \overline{0, M-1}$



8 Algoritmi evoluți de tip FFT

8.4 Implementări RADIX ale algoritmilor FFT compoziți



Exemplul 1

Algoritmul compozit FFT-RADIX3 (final)

Blocul de calcul paralel

"butterfly"

$$\mathcal{O}_{\text{atomic}}^{\text{RADIX3}} = [24]_{\bullet} + [24]_{+}$$

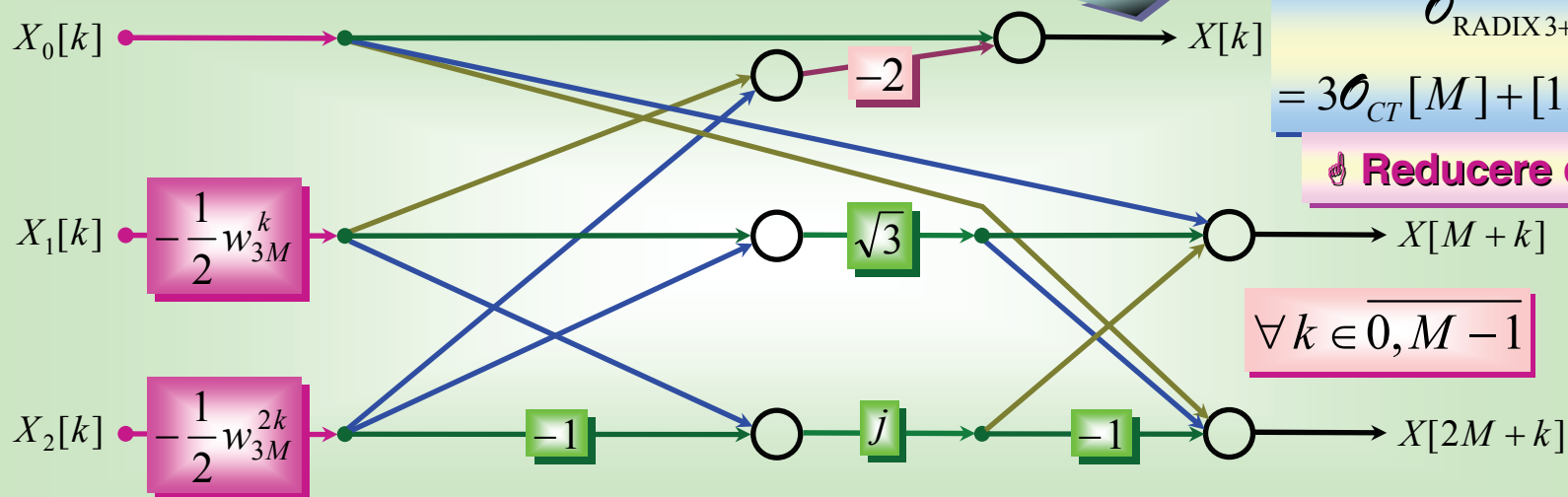
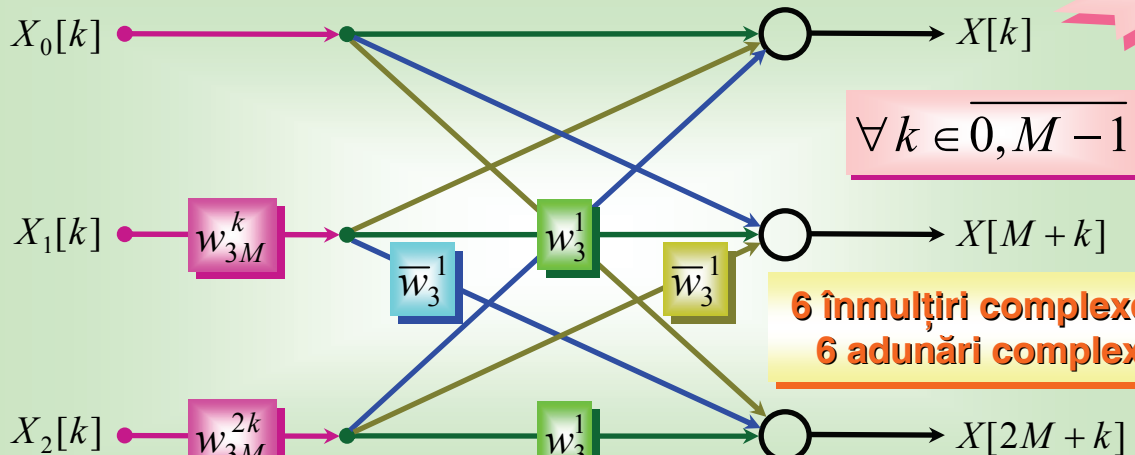
$$\begin{aligned} \mathcal{O}_{\text{RADIX3}}[3M] &= \\ &= 3\mathcal{O}_{\text{CT}}[M] + [24M]_{\bullet} + [24M]_{+} \end{aligned}$$

👉 Efortul de calcul poate fi redus prin exploatarea totală a simetriei armonice interioare.

$$w_3^1 = -\frac{\sqrt{3}}{2} - j\frac{1}{2}$$

$$\begin{aligned} \mathcal{O}_{\text{RADIX3+}}[3M] &= \\ &= 3\mathcal{O}_{\text{CT}}[M] + [12M]_{\bullet} + [20M]_{+} \end{aligned}$$

👉 Reducere de peste 2 ori.



8 Algoritmi evoluți de tip FFT

8.4 Implementări RADIX ale algoritmilor FFT compoziți



Exemplul 2

Algoritmul compozit FFT-RADIX4

$$N = 4^L$$

sau

$$N = 4M \in 4\mathbb{N}$$

$$\text{TFD}_{4M}(x)[k] = \sum_{p=0}^3 w_{4M}^{kp} \text{TFD}_M(x_p)[k \% M]$$

$$\forall k \in \overline{0, N-1}$$

$$\text{TFD}_M(x_p)[k] \stackrel{\text{def}}{=} X_p[k] = \sum_{m=0}^{M-1} \underbrace{x[4m+p]}_{x_p[m]} w_M^{mk} \quad \forall k \in \overline{0, M-1}$$

$$\forall p \in \overline{0, 3}$$

Cooley-Tukey compozit-timp



$$\text{TFD}_{4M}(x)[k] = X[k] = w_{4M}^0 X_0[k] + w_{4M}^k X_1[k] + w_{4M}^{2k} X_2[k] + w_{4M}^{3k} X_3[k]$$

$$\text{TFD}_{4M}(x)[M+k] = X[M+k] = w_{4M}^0 X_0[k] + w_4^1 w_{4M}^k X_1[k] + w_4^2 w_{4M}^{2k} X_2[k] + w_4^3 w_{4M}^{3k} X_3[k]$$

$$\text{TFD}_{4M}(x)[2M+k] = X[2M+k] = w_{4M}^0 X_0[k] + w_4^2 w_{4M}^k X_1[k] + w_4^0 w_{4M}^{2k} X_2[k] + w_4^2 w_{4M}^{3k} X_3[k]$$

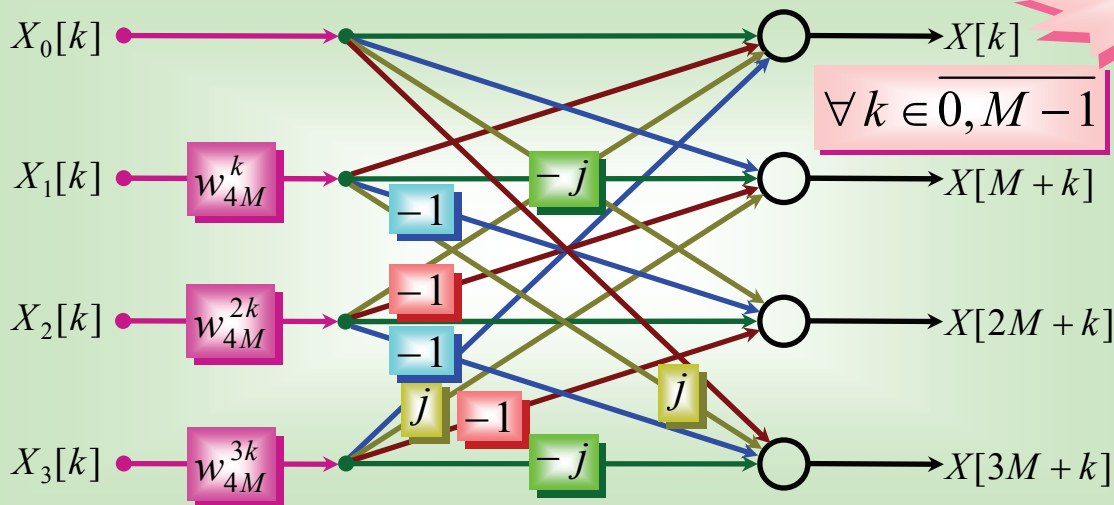
$$\text{TFD}_{4M}(x)[3M+k] = X[3M+k] = w_{4M}^0 X_0[k] + w_4^3 w_{4M}^k X_1[k] + w_4^2 w_{4M}^{2k} X_2[k] + w_4^1 w_{4M}^{3k} X_3[k]$$

$$\forall k \in \overline{0, M-1}$$



$$w_4^k = (-j)^k \quad \forall k \in \mathbb{Z}$$

Blocul de calcul paralel



"butterfly"

3 înmulțiri complexe & 12 adunări complexe

$$\mathcal{O}_{\text{atomic}}^{\text{RADIX4}} = [12]_{\bullet} + [30]_{+}$$

$$\mathcal{O}_{\text{RADIX4}}[4M] =$$

$$= 4\mathcal{O}_{\text{CT}}[M] + [12M]_{\bullet} + [30M]_{+}$$



9 Noțiuni de eșantionare și interpolare



- O parte dintre semnalele practice (**cauzale și stabile**) sunt generate cu ajutorul operației de **eșantionare**.

👉 Problema eșantionării corecte

- Fie un semnal continuu generat de un sistem cauzal și stabil. Pentru a prelucra informația transportată de acesta, se utilizează un semnal discret obținut prin eșantionare. Se cere să se precizeze regulile după care trebuie efectuată eșantionarea astfel încât semnalul discret rezultat să conserve sau să distorsioneze în manieră minimală informația originală.
- Valorile semnalului continuu între momentele consecutive de eșantionare **se pierd**.

👉 **Aceasta nu conduce în mod automat la pierderea de informație.**



Semnalele continue pot prezenta un anumit grad de redundanță.

- Pentru reconstituirea valorilor pierdute, se poate apela la operația (duală) de **interpolare**.



Prin eșantionare, valorile redundante pot fi înlăturate.



Pot fi însă înlăturate și valori importante în codificarea informației, dacă operația nu este efectuată corect.

👉 Problema interpolării (exacte)

- Fie un semnal discret, eventual obținut prin eșantionarea unui semnal continuu. Se cere să se precizeze o procedură de interpolare cu ajutorul căreia să poată fi recuperată parțial sau integral informația pierdută prin eșantionare.



9 Noțiuni de eșantionare și interpolare



De unde se poate pleca pentru a rezolva problema eșantionării corecte?



Reprezentările lui Fourier ar putea constitui un punct de plecare.

Ideea lui
FOURIER

Orice semnal poate fi considerat ca o suprapunere aditivă de semnale atomice “monofrecvențiale”, de diferite amplitudini, numite **armonice elementare**.

Proprietatea lui Parseval
pentru semnale de
bandă finită

Seria Fourier se
poate trunchia

$$f(t) \stackrel{\text{apt}}{\approx} \tilde{f}(t) \cong \sum_{k=0}^K \mathcal{A}_k(t) \quad \forall t \in \mathbb{R}$$

Există o armonică elementară de **pulsatie/perioadă maximă/minimă**.

$$\mathcal{A}_K(t) = a_K \cos(K\pi F_c t) + b_K \sin(K\pi F_c t) \quad \forall t \in \mathbb{R}$$

frecvența de tăiere

(lărgimea de bandă a semnalului continuu)

Ideea lui
Shannon

Dacă armonica cea mai rapid oscilantă este eșantionată corect, atunci întreaga Serie Fourier (trunchiată) va fi eșantionată corect.

Adică informația armonicelor inferioare se conservă.



9 Noțiuni de eșantionare și interpolare



FOURIER

\mathcal{H}

0

1

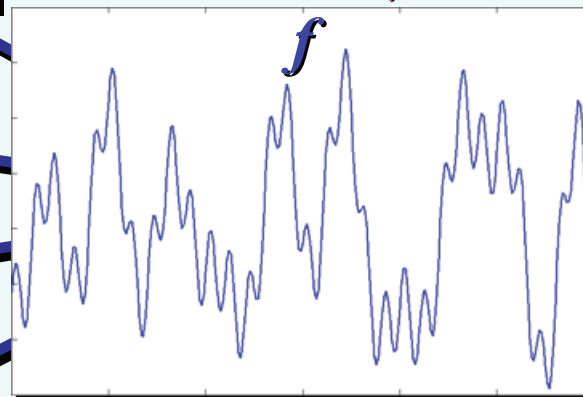
2

Baza armonică

K

Shannon

Se eșantionează armonica de
frecvență maximă.



\mathcal{A}_0

\mathcal{A}_1

\mathcal{A}_2

\mathcal{A}_K

Observați amplitudinile
variabile și frecvențele
crescătoare ale armonicilor.



88



9 Noțiuni de eșantionare și interpolare

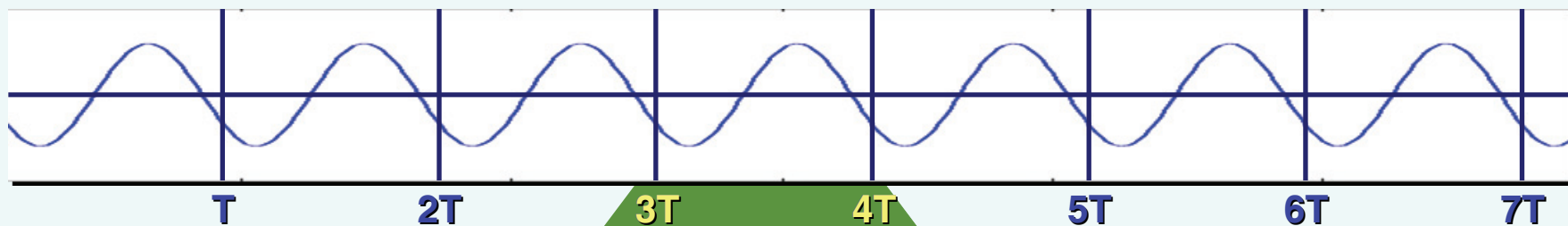


Cum poate fi eșantionată o armonică fără a pierde informație?

Cazul

$$\frac{T_s}{T} \in \mathbb{Q}$$

👉 Cazul irațional este neinteresant practic.

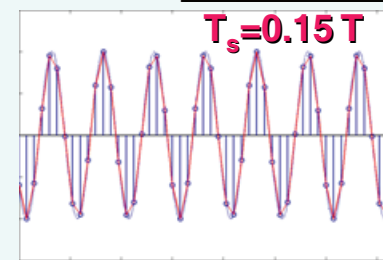
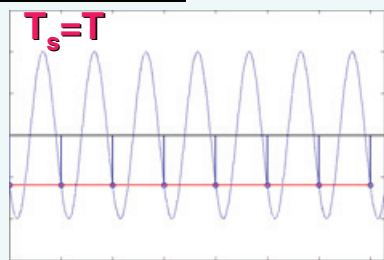
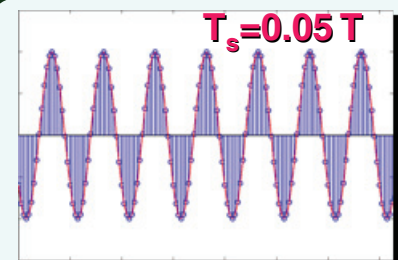
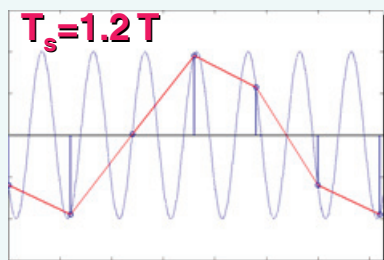


3 cazuri de bază

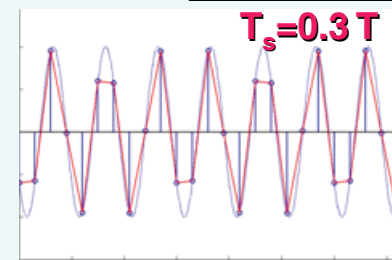
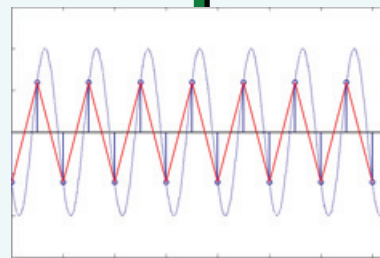
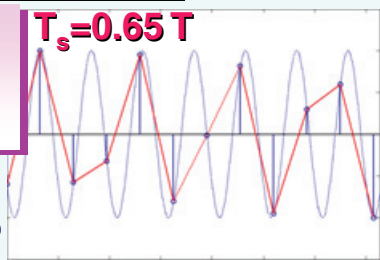
$$T_s > \frac{T}{2}$$

$$T_s < \frac{T}{2}$$

$$T_s = \frac{T}{2}$$



👉 Semnalul eșantionat este întotdeauna periodic.



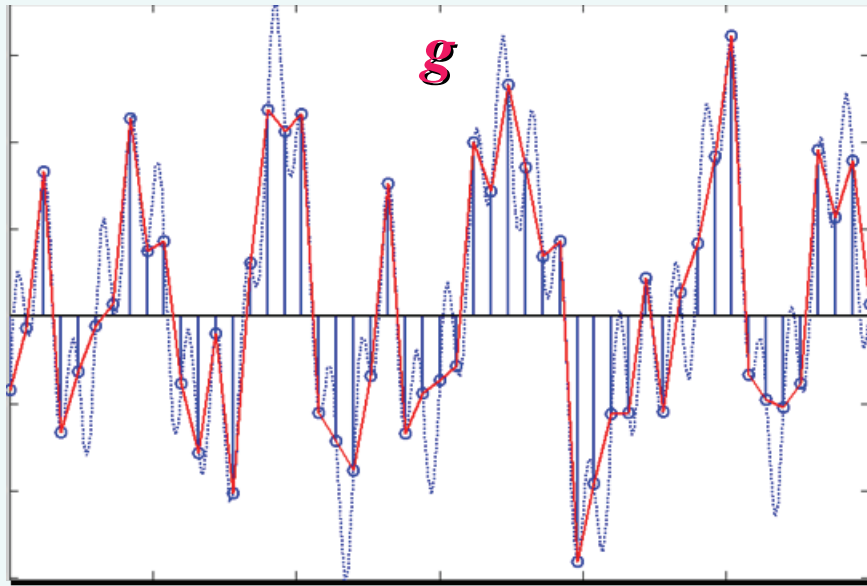
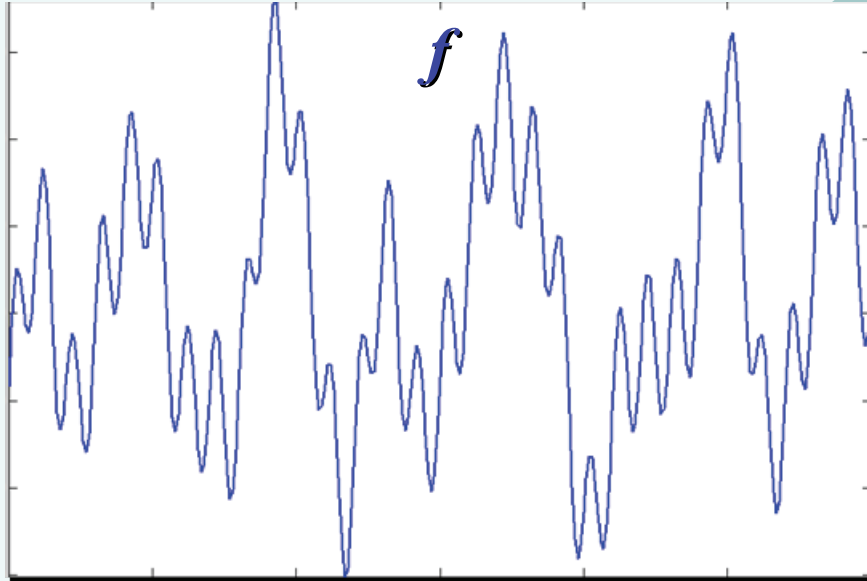
Perioada?

Exercițiu



9 Noțiuni de eșantionare și interpolare

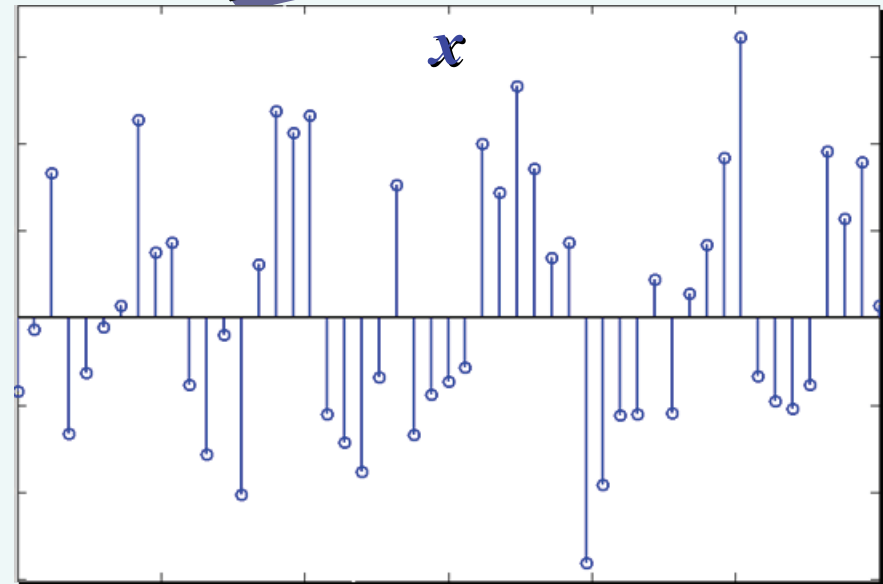
- Termenii de **eșantionare** și **interpolare** sunt duali, dar, în general, nu reprezintă operații inverse una alteia.



Eșantionare



Rezultat determinat numai de valoarea perioadei de eșantionare.



Interpolare



Rezultat determinat în mod sensibil de metoda de interpolare.



90



9 Noțiuni de eșantionare și interpolare



Scurt istoric

⚡ Mai multe detalii se găsesc în Anexa G.

Există două mari categorii de semnale ce pot fi analizate

De bandă limitată

(cu suport temporal infinit)

• Analiza clasică.

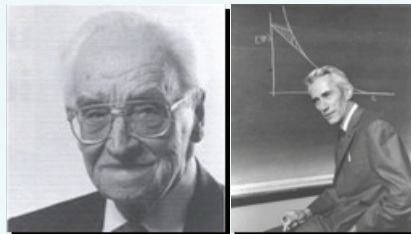
De bandă nelimitată

(cu suport temporal eventual finit)

• Analiza modernă.

⬆ Acest curs se concentrează pe semnalele de bandă limitată.

⚡ Deși semnalele practice au suport temporal finit, deci sunt de bandă nelimitată.



* Semnalele **“esențial localizate simultan în timp și frecvență”**.

• Analiza clasică este adesea aplicată și acestor semnale.

➔ Semnal și spectru cu valori neglijabile în afara unor suporturi compacte / finite.

☞ **V. Kotel'nikov & C. Shannon**

(Rusia)

(SUA)

📖 Al doilea rezultat important de eșantionare-interpolare, (1933) legat de comportamentul în frecvență al semnalelor.

- Deși **Teorema lui Vallée Poussin sugerează** definirea momentelor de eșantionare cu ajutorul conceptului de **pulsație**, ea este interpretată mai mult ca un rezultat de **interpolare**, adică în **domeniul timpului**.



$$\mathcal{T}_m \stackrel{\text{def}}{=} \left\{ t_k \stackrel{\text{def}}{=} \frac{k\pi}{m} \right\}_{k \in \mathbb{Z}}$$

Vallée Poussin



$$\mathcal{O}_N \stackrel{\text{def}}{=} \left\{ \omega_k^N \stackrel{\text{def}}{=} \frac{2k\pi}{N} \right\}_{k \in \mathbb{Z}}$$

Fourier

- **Teorema lui Kotel'nikov & Shannon** (enunțată în pagina următoare) constituie un rezultat de **eșantionare** efectivă, analiza desfășurându-se în **domeniul frecvenței**, deși el este formulat tot ca un rezultat de interpolare.



9 Noțiuni de eșantionare și interpolare



Scurt istoric (final)

Teorema 4 (Kotel'nikov-Shannon)



Fie $f : \mathbb{R} \rightarrow \mathbb{R}$ un semnal continuu absolut integrabil (stabil), de energie finită și bandă limitată, inclusă în intervalul $[-\Omega_c, +\Omega_c]$, unde $\Omega_c > 0$ este o pulsație fixată.

Se **eșantionează** semnalul continuu folosind următoarea mulțime de momente:

$$\mathcal{T} \stackrel{\text{def}}{=} \left\{ t_k \stackrel{\text{def}}{=} \frac{k\pi}{\Omega_c} \right\}_{k \in \mathbb{Z}}.$$

Atunci, se poate verifica următoarea **formulă de interpolare exactă**:

$$f(t) \stackrel{\text{PC}}{=} \sum_{k \in \mathbb{Z}} f(t_k) \frac{\sin(\Omega_c t - k\pi)}{\Omega_c t - k\pi} = \sum_{k \in \mathbb{Z}} f(t_k) \text{Sc}(\Omega_c t - k\pi), \quad \forall t \in \mathbb{R}.$$

Demonstrație

- Lucrările originale ale celor 2 cercetători.
- Similară **Teoremei G1**, dar mai laborioasă.

⚡ Același nucleu de interpolare ca în **Teorema lui Vallée Poussin**.



(deși cu alt argument, a se vedea **Anexa G**)

- În mulțimea momentelor de eșantionare apare acum explicit **pulsația de tăiere**. Ω_c
- De această dată, interpolatorul construit în teoremă este **unic** și **exact**.
- Formula de interpolare este doar **teoretică**, deoarece suma este **infinită** (și punctual convergentă).
→ Ar putea avea un număr finit de termeni dacă semnalul ar avea **suport compact**.

⚡ **Semnalul nu poate avea suport compact, deoarece este de bandă limitată.**

